

**Рубрика 1. ТЕХНОЛОГИИ И ПРОЕКТЫ**

Направление – Проектирование и строительство дорог, метрополитенов, аэродромов, мостов и транспортных тоннелей

<https://doi.org/10.17816/transsyst683381>

© А.Э. Юницкий, М.И. Цырлин, Р.А. Малахов, А.Н. Петровец

ЗАО «Струнные технологии»

(Минск, Республика Беларусь)

## **ПРИМЕНЕНИЕ ТРАНСПОРТНЫХ КОМПЛЕКСОВ uST В УСЛОВИЯХ ВЕЧНОЙ МЕРЗЛОТЫ**

**Обоснование.** В работе предложено решение транспортных проблем в условиях вечной мерзлоты применением транспортно-инфраструктурных решений Unitsky String Technologies. При устройстве фундаментов сооружений рекомендуется использовать винтовые сваи.

**Цель.** Обеспечение безопасной и эффективной перевозки грузов и пассажиров в районах с вечной мерзлотой рельсо-струнным транспортом.

**Методы.** Расчет винтовых свай под стойки опор рельсо-струнной путевой структуры транспортно-инфраструктурных комплексов производился с помощью программного комплекса Dlubal Rfem.

**Результаты.** Анализ результатов расчета показал достаточную надежность предложенной конструкции фундаментов опор.

**Ключевые слова:** Арктика; вечная мерзлота; струнный транспорт; транспортный комплекс uST; винтовые сваи.

**Как цитировать:**

Юницкий А.Э., Цырлин М.И., Малахов Р.А., Петровец А.Н. Применение транспортных комплексов uST в условиях вечной мерзлоты // Инновационные транспортные системы и технологии. 2025. Т. 11, № 2. С. 202–218. doi: 10.17816/transsyst683381

## Section 1. TECHNOLOGIES AND PROJECTS

Subject – Design and construction of roads, subways, airfields, bridges and transport tunnels

© A.E. Unitsky, M.I. Tsyrlin, R.A. Malakhov, A.N. Petrovets

Unitsky String Technologies, Inc.

(Minsk, Republic of Belarus)

### USE OF uST TRANSPORT SYSTEMS IN PERMAFROST CONDITIONS

**BACKGROUND.** The paper proposes to solve transportation problems in permafrost conditions using Unitsky String Technologies transport and infrastructure solutions. It is advised to use screw piles to build foundations for structures.

**AIM.** To ensure safe and efficient transportation of goods and passengers in permafrost areas using string rail systems.

**METHODS.** Screw piles for support legs of a string rail track structure of transport and infrastructure systems were calculated using Dlubal Rfem software.

**RESULTS.** The calculation showed high reliability of the proposed design of support foundations.

**Keywords:** Arctic, permafrost; string transport; uST transport system; screw piles.

#### To cite this paper:

Unitsky AE, Tsyrlin MI, Malakhov RA, Petrovets AN. Use of uST Transport Systems in Permafrost Conditions. *Modern Transportation Systems and Technologies*. 2025;11(2):202–218. doi: 10.17816/transsyst683381

## ВВЕДЕНИЕ

Около 11% поверхности Земли покрыто вечной мерзлотой, охватывающей общую площадь около 18 миллионов км<sup>2</sup> [1]. Сюда входят большие площади США, Канады, Гренландии и России. Вечная мерзлота – это толщи земных пород, не оттаивающие в течение длинного периода времени – от нескольких лет до тысячелетий. Глубина зоны многолетней мерзлоты иногда превышает 1000 метров, грунтовые воды в этой зоне находятся в виде льда. Вечномерзлый грунт – это грунт, находящийся в мерзлом состоянии постоянно в течение трех и более лет. В России общая площадь районов распространения вечной мерзлоты равна примерно 10,7 млн км<sup>2</sup>, что составляет около 65% территории страны.

Значительными проблемами указанных территорий являются рельеф местности и климат. Так, автомобильные дороги часто пересекают реки, болота, озера, близ которых характерны обводненные грунты. Кроме того, зимой устойчивый снежный покров в отдельных районах вечной мерзлоты достигает 3–4 метров, для летнего периода характерны обильные осадки в виде дождей. Вода, содержащаяся в верхних слоях земли над мерзлым грунтом, замерзая, увеличивается в объеме до 10%, что приводит к всучиванию земли. Вместе с поднятием грунта приподнимается все, что находится на поверхности земли или в ее верхних слоях. Влияние этих факторов определяет сезонный характер использования отдельных видов транспорта, удорожает строительство и эксплуатацию транспортной инфраструктуры, значительно увеличивает временные затраты и транспортные издержки в целом, усложняя задачи обеспечения территорий жизненно важной продукцией и снижая конкурентоспособность местных производителей товаров и услуг [2]. Как результат, транспортные издержки в ценах на товары в Арктической зоне России составляют до 60% вместо 10%, характерных для средних широт страны.

Еще одним важнейшим фактором, влияющим на работу Арктического транспортного комплекса, является изменение климата. Данные в оценочных докладах Росгидромета показали, что в Арктике в течение трех последних десятилетий температура повышалась значительно, чем в остальных регионах земного шара. При этом предполагается дальнейшая деградация многолетней мерзлоты, сопровождающаяся увеличением мощности сезонно-тального слоя [3].

Также необходимо отметить, что в отдельных районах, таких как Республика Саха (Якутия), Магаданская область, Чукотский автономный округ в целом отсутствует опорная сеть автомагистралей.

Таким образом, совокупность указанных проблемных моментов требует разработки и внедрения в экономику Арктического региона новых решений в транспортной и связанной с ней отраслях, что будет более подробно рассмотрено в настоящей статье.

## ТРАДИЦИОННЫЕ СПОСОБЫ УСТРОЙСТВА ДОРОГ В УСЛОВИЯХ КРАЙНЕГО СЕВЕРА

Основным способом устройства дорог являются насыпи с уложенным поверх бетонными плитами [4]. Как правило, конструкцию земляного полотна устраивают по принципу недопущения оттаивания вечной мерзлоты в основании, но это получается не всегда. Тепло, создаваемое солнцем и движущимся транспортом, нагревает почву, в результате чего система теряет монолитность и смещается в процессе подтаивания, то есть проседает. Кроме того, данные явления могут встречаться по причине глобального потепления. Например, дорожное полотно на трассе Уренгой – Тазовский (Ямало-Ненецкий автономный округ) пошло волнами уже на третий год после завершения строительства (Рис. 1).

Также в северных регионах распространен такой тип дорог, как «зимники» – временные автомобильные дороги, эксплуатация которых возможна только в зимних условиях, при минусовой



**Рис. 1.** Дорога Уренгой – Тазовский (ЯНАО)

**Fig. 1.** Road Urengoy – Tazovsky (Yamalo-Nenets Autonomous Okrug)

температуре (Рис. 2). Для устройства зимника снег уплотняют и разгребают грейдерами, на реках намораживают ледовые переправы. Зимник может также проходить непосредственно по замерзшему льду рек и озер. Зимники широко распространены в Сибири и районах Крайнего Севера, в болотистых регионах, и там, где отсутствуют мосты через многочисленные ручьи и реки, и в других труднодоступных условиях. Часто зимники используются для доставки грузов и оборудования на нефте- и газопромыслы, а особенно часто – для вывоза тяжелого и труднодоступного леса.



**Рис. 2. Автозимник Певек – Купол на Чукотке**

**Fig. 2. Winter road Pevek – Dome in Chukotka**

## **ТРАНСПОРТНЫЕ ТЕХНОЛОГИИ uST В УСЛОВИЯХ АРКТИЧЕСКОЙ ЗОНЫ**

С учетом обозначенной проблематики одним из действенных решений, апробированных в Беларуси и ОАЭ, является применение транспортно-инфраструктурных решений Unitsky String Technologies (uST), основанных на технологии создания предварительно напряженных транспортных эстакад нового поколения, позволяющих осуществлять перевозку пассажиров и грузов в автоматизированном режиме по рельсострунной путевой структуре, размещенной на «втором уровне» (Рис. 3) [5].



**Рис. 3.** Струнный транспорт в зимнем ЭкоТехноПарке  
(на переднем плане – 14-местный юнибус, на втором плане 6-местный юникар).  
Марьина Горка, Беларусь, 2020 г.

**Fig. 3.** String transport in winter EcoTechnoPark  
(in the foreground is a 14-seater unibus, in the background is a 6-seater unicar).  
Maryina Gorka, Belarus, 2020

Указанная рельсо-струнная эстакада включает в себя анкерные опоры, промежуточные опоры, предварительно напряженную путевую структуру.

Эстакадное исполнение комплексов иСТ может позволить решать проблемы, связанные с заметанием дорог снегом и подвижностью почв, что особенно актуально для северных территорий России [6]. Например, поднятые над землей на высоту 10 метров и более струнные рельсы в постоянном режиме самоочищаются от снега и наледи стальными колесами движущегося транспорта. При этом обеспечивается высокий уровень безопасности за счет подъема подвижного состава на второй уровень, позволяя избежать столкновения с объектами, движущимися по поверхности земли.

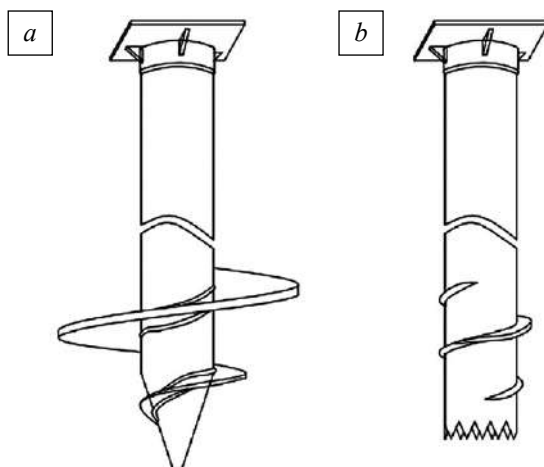
Длина пролетов в рельсо-струнной эстакаде может достигать 2 км, что позволяет преодолевать без опор, по воздуху, широкие препятствия, связанные с геологическими и рельефными особенностями региона. При этом конструкция эстакады позволяет прокладывать маршрут по прямой (наиболее короткой траектории), в том числе над водной преградой

или другим труднопроходимым участком местности, без использования дополнительных сооружений, что сокращает расстояние до пункта назначения, а также затраты (временные, эксплуатационные и др.).

Наиболее многочисленными несущими элементами путевой структуры, непосредственно влияющими на безопасность всего комплекса, являются промежуточные опоры, которые, как правило, располагаются с шагом 50–250 м. В большинстве своем они представляют собой П- и Т-образные металлические и железобетонные конструкции, неотъемлемой частью которых являются фундаменты. В условиях арктического климата наиболее целесообразными будут являться свайные фундаменты [7]. При проектировании такого фундамента в зонах вечной мерзлоты следует учитывать влияние на устойчивость и эксплуатационную надежность сооружения таких факторов, как недостаточная несущая способность сваи, воздействие сил морозного пучения, потеря устойчивости при внезапном оттаивании грунтов, мерзлотно-геоморфологические явления, вызывающие деформации сооружений. Например, сваи для талых грунтов могут быть изготовлены и погружены с довольно значительным диаметром винтовой части (800 мм). Наиболее распространенная конструкция – одновитковый анкер (Рис. 4а) [8].

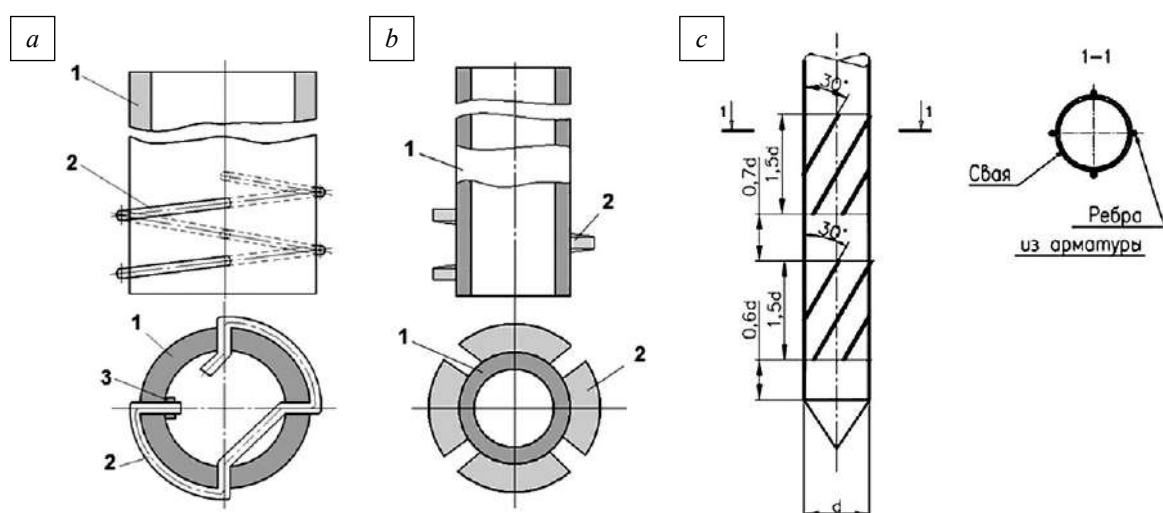
Стоит отметить, что при устройстве фундаментов сооружений на вечномерзлых грунтах рекомендуется использовать узколопастные сваи, у которых диаметр лопасти не превышает диаметр ствола более чем в 1,5 раза, имеют больший угол наклона спирали, большее количество «витков» анкерной части, но существенно меньший диаметр анкера (Рис. 4б, 5) [8]. При этом существенно упрощается установка лопасти на ствол сваи. В этой связи лопасть винтовой сваи предлагается изготавливать из металлического троса, протянутого через радиальные отверстия, расположенные по винтовой линии, концы которого фиксируются после зажима хомутами, расположенными в полости сваи (Рис. 5а).

Анкерные элементы на теле сваи могут быть выполнены из листового проката (Рис. 5б), а также из иных прокатных профилей: уголков, арматуры (Рис. 5с) [8]. Это позволяет равномерно и максимально эффективно распределять грунты во время ввинчивания свай, одновременно уплотняя слои почв и обеспечивая высокую несущую способность. При этом диаметр троса, число оборотов вокруг ствола и расстояние между отверстиями определяются расчетным путем; завинчивание сваи производится ниже уровня возможного оттаивания вечномерзлой почвы.



**Рис. 4.** Винтовые сваи: *a* – для талых грунтов; *b* – для вечномерзлых грунтов

**Fig. 4.** Screw piles: *a* – for thawed soils; *b* – for permafrost soils



**Рис. 5.** Варианты устройства лопастей свай

*a* – лопасть из троса, каната: 1 – ствол, 2 – трос, 3 – зажим;  
*b* – лопасть из листовой стали: 1 – ствол, 2 – кольцевые элементы;  
*c* – лопасти из приваренной арматурной стали

**Fig. 5.** Options for constructing pile blades

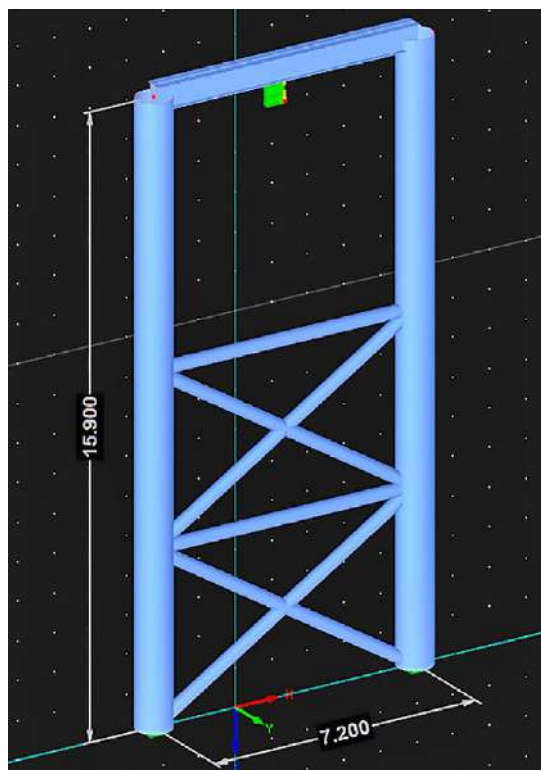
*a* – blade made of cable, rope: 1 – barrel, 2 – cable, 3 – clamp;  
*b* – blade made of sheet steel: 1 – barrel, 2 – ring elements;  
*c* – blades made of welded reinforcing steel

Применение винтовых свай в рамках строительства транспортно-инфраструктурных решений uST позволяет существенно увеличить скорость производства работ, обеспечивая быстрый и надежный фундамент, повышает общую эффективность проекта.

Относительно других видов транспорта струнный транспорт [9, 10] имеет ряд преимуществ: не зависит от непогоды, сезона, времени суток, практически не занимает территорию, отвечает экологическим и эргономическим требованиям, обеспечивает высокую (до 150 км/ч и более) скорость передвижения, ровность и плавность хода, требуемый уровень комфорта, не нарушает естественный биоценоз, установившуюся схему миграции диких животных, не нарушает жизненный уклад местного населения, подходит для электрической тяги, беспилотного режима.

## РАСЧЕТ ПО НЕСУЩЕЙ СПОСОБНОСТИ СВАИ В ВЕЧНОМЕРЗЛЫХ ГРУНТАХ

В работе выполнен расчет свай под стойки промежуточной опоры (Рис. 6). Путевая структура принята полужесткая с массой транспортного средства 42 000 кг. Расчет несущей способности свай производился согласно СП 25.13330.2012 «Основания и фундаменты на вечномерзлых грунтах» пункта 7.2 «Расчет оснований и фундаментов при использовании многолетнемерзлых грунтов по принципу I» [11] в программном NormCAD.



**Рис. 6.** Общий вид промежуточной опоры в рамках проводимого расчета

**Fig. 6.** General view of the intermediate support under analysis

## ИСХОДНЫЕ ДАННЫЕ ДЛЯ РАСЧЕТА СВАИ

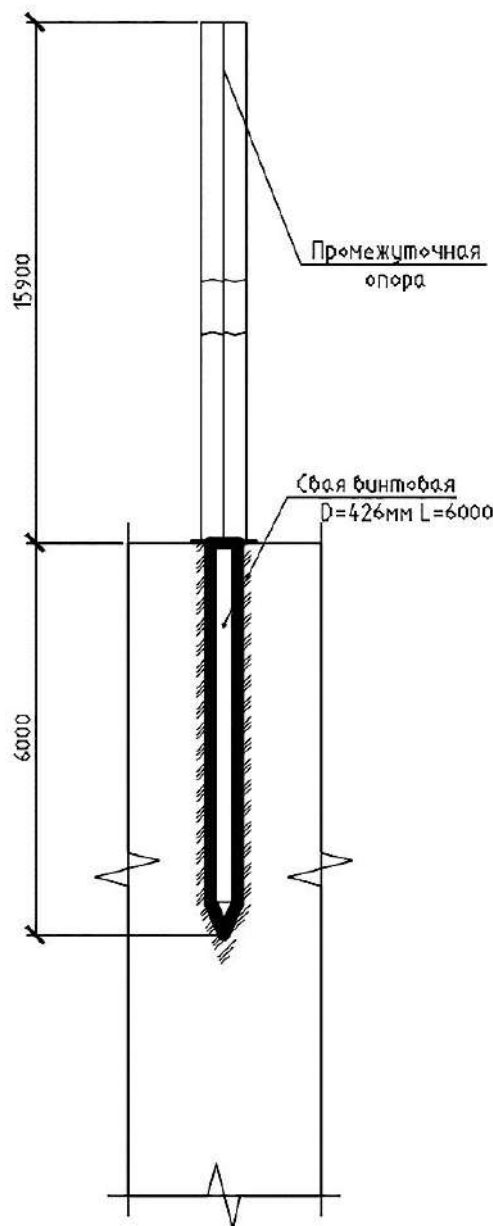
В Табл. приведены исходные данные для расчета. Климатические данные принимались программным комплексом в зависимости от выбора района строительства по СП 131.13330.2020 «Строительная климатология» [12] для холодного и теплого периода.

**Таблица. Исходные данные**

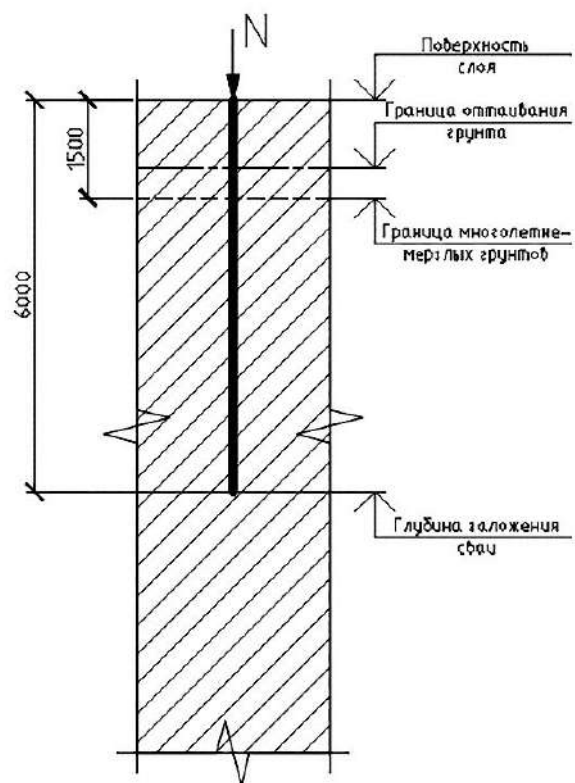
**Table. Initial data**

Наименование	Значение данных
1. Район строительства: Камчатская область, Усть-Камчатск	<ul style="list-style-type: none"> <li>– продолжительность периода отрицательных температур в году по многолетним данным <math>t_{f,m} = 4344\text{ч}</math>;</li> <li>– продолжительность периода положительных температур в году по многолетним данным <math>t_{th,m} = 4416\text{ч}</math>;</li> <li>– средняя по многолетним данным температура воздуха за период отрицательных температур <math>T_{f,m} = -8,26^\circ\text{C}</math>;</li> <li>– средняя по многолетним данным температура воздуха за период положительных температур <math>T_{th,m} = 7,23^\circ\text{C}</math>;</li> <li>– среднегодовая температура наружного воздуха <math>T_{out} = -0,5^\circ\text{C}</math>;</li> <li>– амплитуда сезонных колебаний температуры наружного воздуха <math>A = 11,8^\circ\text{C}</math>;</li> <li>– среднеквадратическое отклонение средней годовой температуры наружного воздуха <math>\sigma = 0,74^\circ\text{C}</math>.</li> </ul>
2. Геологические данные: грунт – суглинок	<ul style="list-style-type: none"> <li>– толщина слоя <math>h_1 = 10 \text{ м}</math>;</li> <li>– удельный вес <math>g_1 = 17,7 \text{ кН/м}^3</math>;</li> <li>– удельный вес частиц грунта <math>g_{s1} = 27,6 \text{ кН/м}^3</math>;</li> <li>– коэффициент пористости <math>e_1 = 0,2</math>;</li> <li>– показатель текучести <math>I_{L1} = 0,1</math>;</li> <li>– плотность талого грунта в сухом состоянии <math>r_{d, th1} = 1800 \text{ кг/м}^3</math>;</li> <li>– плотность мерзлого грунта в сухом состоянии <math>r_{df1} = 1600 \text{ кг/м}^3</math>;</li> <li>– расчетная глубина сезонного оттаивания <math>d_{th} = 1,05 \text{ м}</math>;</li> <li>– льдистость мерзлого грунта за счет включений льда слоя <math>I_{ii1} = 0,15</math>;</li> <li>– суммарная влажность мерзлого грунта <math>W_{tot1} = 0,2</math>;</li> <li>– влажность грунта на границе текучести <math>W_{L1} = 0,35</math>;</li> <li>– влажность грунта на границе пластичности <math>W_{pl} = 0,25</math>.</li> </ul>
3. Данные эксплуатации: назначение – фундамент промежуточной опоры	<ul style="list-style-type: none"> <li>– длительность эксплуатации сооружения <math>t = 150 \text{ лет}</math>;</li> <li>– коэффициент надежности по ответственности сооружения по ГОСТ 27751-88 <math>\gamma_n = 1,2</math> (повышенный) [13].</li> </ul>
4. Параметры сваи	<ul style="list-style-type: none"> <li>– стальная полая винтовая свая;</li> <li>– диаметр сваи <math>D = 426 \text{ мм}</math>;</li> <li>– длина сваи <math>L = 6000 \text{ мм}</math>;</li> <li>– заложение от уровня планировки <math>L_1 = 6000 \text{ мм}</math>;</li> <li>– вертикальная нагрузка на сваю <math>N = 761,9 \text{ кН}</math>.</li> </ul>

## Конструктивная схема



## Расчётная схема



**Рис. 7.** Конструктивная и расчетная схема сваи  
**Fig. 7.** Structural and design diagram of the pile

На Рис. 7 представлена конструктивная и расчетная схема сваи.

## РЕЗУЛЬТАТЫ РАСЧЕТА СВАИ ФИЗИЧЕСКИЕ И ТЕПЛОФИЗИЧЕСКИЕ ХАРАКТЕРИСТИКИ МНОГОЛЕТНЕМЕРЗЛЫХ ГРУНТОВ

В состав физических и теплофизических характеристик, определяемых для многолетнемерзлых грунтов, входят:

- а) суммарная влажность мерзлого грунта –  $W_{tot}$  и влажность мерзлого грунта, расположенного между ледяными включениями –  $W_m$  – определяются по ГОСТ 5180–2015 лабораторными испытаниями;
- б) суммарная льдистость мерзлого грунта –  $i_{tot}$ , представляющая собой отношение содержащегося в мерзлом грунте объема льда к объему мерзлого грунта и льдистость грунта за счет видимых ледяных включений –  $i_i$ , представляющая собой отношение содержащегося в мерзлом грунте объема видимых ледяных включений к объему мерзлого грунта – определяются по ГОСТ 25100–2020;
- в) степень заполнения объема пор мерзлого грунта льдом и незамерзшей водой –  $S_r$ , доли единицы;
- г) температура начала замерзания грунта –  $T_{bf1}$ ;
- д) влажность мерзлого грунта за счет незамерзшей воды –  $W_m$ , доли единицы;
- е) теплофизические характеристики грунта (теплопроводность –  $l$ , Вт/(м· °C) и объемная теплоемкость –  $C$ , Дж/(кг·°C));
- ж) теплота таяния льда (замерзания воды) в грунте –  $L_v$ ;
- з) степень засоленности –  $D_{sai}$ , %;
- и) концентрация порового раствора –  $C_{ps}$ , доли единицы;
- к) объемная степень заторфованности –  $J$ , доли единицы;
- л) степень заторфованности –  $G$ , доли единицы.

### Расчет оснований по первой группе предельных состояний в программе Normcad по СП 25.13330.2012

Перед определением прочностных характеристик грунта необходимо определить температурные показатели и коэффициенты.

Расчетное значение температуры на глубине заложения фундамента, отсчитываемой от верхней грани поверхности многолетнемерзлого грунта [11]:

$$T_{z,0} = T_z = (T_0 - T_{bf}) \cdot \alpha_z + T_{bf} = (-5 + 0,2) \cdot 0,93 - 0,2 = -4,67^{\circ}\text{C} \quad (1)$$

где  $T_0$  – расчетная среднегодовая температура грунта основания;  $T_0 = -5^{\circ}C$ ;  $T_{bf}$  – температура начала замерзания грунта;  $T_{bf} = -0,2^{\circ}C$ ;  $\alpha_z$  – коэффициент;  $\alpha_z = 0,93$ .

Расчетное значение температуры многолетнемерзлого грунта:

$$T_e = (T_0 - T_{bf}) \cdot \alpha_z = (-5 + 0,2) \cdot 0,593 - 0,2 = -3,05^{\circ}C \quad (2)$$

где  $\alpha_z$  – коэффициент;  $\alpha_z = 0,593$ .

Условие прочности грунта при действии сжимающей нагрузки:

$$F \leq \frac{F_u}{\gamma_n} \quad (3)$$

где  $F$  – расчетная нагрузка на сваю, кН;  $F_u$  – несущая способность грунта основания, кН;  $\gamma_n$  – коэффициент надежности по ответственности;  $\gamma_n = 1,4$ .

Несущая способность сваи на сжимающую нагрузку определялась по наименьшему значению:

$$F_u = \min(F_{u1}; F_{u2}); \quad (4)$$

$$F_{u1} = \gamma_t \cdot \gamma_c \cdot (R \cdot A_0 + R_{af} \cdot A_{af}); \quad (5)$$

$$F_{u2} = \gamma_t \cdot \gamma_c \cdot (R \cdot A_0 + R_{sh} \cdot A_{sh}); \quad (6)$$

где  $\gamma_t$  – коэффициент условия работы;  $\gamma_t = 1,0$ ;  $\gamma_c$  – температурный коэффициент;  $\gamma_c = 1,0$ ;  $R$  – расчетное давление на мерзлый грунт под нижним концом сваи, табличное значение в зависимости от  $T_{z,0}$ ;  $R = 1641 \text{ кПа}$ ;  $A_0$  – площадь опирания сваи (без учета диаметра лопасти):

$$A_0 = \pi \cdot \frac{D^2}{4} = \pi \cdot \frac{0,426^2}{4} = 0,142 \text{ м}^2 \quad (7)$$

$R_{af}$  – расчетное сопротивление мерзлого грунта или грунтового раствора сдвигу по поверхности смерзания фундамента с учетом  $T_e$ :

$$R_{af} = \gamma_{af} \cdot R_{af}^{tabl.} \cdot n_t = 0,7 \cdot 202,86 \cdot 1,0 = 141,99 \text{ кПа} \quad (8)$$

где  $\gamma_{af}$  – коэффициент, зависящий от вида поверхности смерзания;  $\gamma_{af} = 0,7$  для стальных поверхностей;  $R_{af}^{tabl.}$  – табличное значение

сопротивления сдвигу по поверхности смерзания;  $R_{af}^{tabl.} = 202,86 \text{ кПа}$ ;  $n_t$  – повышающий коэффициент; принимаем  $n_t = 1,0$ .

$A_{af}$  – площадь поверхности смерзания слоя грунта с боковой поверхностью свай:

$$A_{af} = \pi \cdot D \cdot (d_1 - d_{mmz}) = 3,14 \cdot 0,426 \cdot (6 - 1,5) = 6,02 \text{ м}^2 \quad (9)$$

где  $d_1$  – глубина заложения свай;  $d_1 = 6 \text{ м}$ ;  $d_{mmz}$  – глубина многолетнемерзлых грунтов;  $d_{mmz} = 1,5 \text{ м}$   $R_{sh}$  – расчетное значение сопротивления мерзлого грунта сдвигу по грунту с учетом  $T_e$ :

$$R_{sh} = \gamma_{sh} \cdot R_{sh}^{tabl.} = 1 \cdot 211,9 = 211,9 \text{ кПа} \quad (10)$$

где  $\gamma_{sh}$  – коэффициент сдвига по грунту;  $\gamma_{sh} = 1$ ;  $R_{sh}^{tabl.}$  – табличное значение сопротивления мерзлого грунта сдвига по грунту;  $R_{sh}^{tabl.} = 211,9 \text{ кПа}$ ;  $A_{sh}$  – площадь поверхности сдвига;  $A_{sh} = A_{af}$ .

Подставляя в формулы (5) и (6) все исходные данные, определим наименьшее значение среди  $F_{u1}$  или  $F_{u2}$ :

$$F_{u1} = 1 \cdot 1 \cdot (1641,08 \cdot 0,142 + 141,99 \cdot 6,02) = 1089,1 \text{ кПа}$$

$$F_{u1} = 1 \cdot 1 \cdot (1641,08 \cdot 0,142 + 141,99 \cdot 6,02) = 1089,1 \text{ кПа}$$

$$F_u = \min(F_{u1}; F_{u2}) = 1089,1 \text{ кПа}$$

Суммарная сжимающая нагрузка с учетом веса свай:

$$F = N + G_{csw} = 761,9 + 6,8 = 768,7 \text{ кН},$$

где  $G_{csw}$  – вертикальная нагрузка от веса свай  $G_{csw} = 6,8 \text{ кН}$

$$F = 768,7 \text{ кН} \leq \frac{1089,1}{1,2} = 907,6 \text{ кН} \text{ – условие выполняется.}$$

## ЗАКЛЮЧЕНИЕ

Таким образом, в работе представлены традиционные способы устройства дорог в условиях Крайнего Севера, имеющие целый ряд недостатков при перевозке грузов и пассажиров. Для решения представленных проблем предложено применение струнного транспорта

uST «второго» уровня. При устройстве фундаментов промежуточных опор рельсо-струнной путевой структуры в зонах вечной мерзлоты рекомендовано использовать винтовые сваи. Анализ результатов расчета показал достаточную надежность предложенной конструкции фундаментов. Коэффициент надежности по ответственности сооружения – 1,2.

**Авторы заявляют что:**

1. У них нет конфликта интересов;
2. Настоящая статья не содержит каких-либо исследований с участием людей в качестве объектов исследований.

**The authors state that:**

1. They have no conflict of interest;
2. This article does not contain any studies involving human subjects.

## БИБЛИОГРАФИЧЕСКИЙ СПИСОК

1. Вечная мерзлота и освоение нефтегазоносных районов / Под ред. Е.С. Мельникова и С.Е. Гречишева. М.: ГЕОС, 2002.
2. Егорова Т.П., Алексеев К.И., Константинов Н.Н. Проблемы транспортного обеспечения арктической зоны Якутии // Региональная экономика: теория и практика. 2011. №23. С. 30-304. EDN: TJHXFV
3. Третий оценочный доклад об изменениях климата и их последствиях на территории Российской Федерации. СПб: Наукомкие технологии, 2022. EDN: COSHAP
4. Солуянова Т.В., Молоков В.С., Волкова Е.В. Особенности строительства и эксплуатации автомобильных дорог в условиях Крайнего Севера // Вестник науки. 2023. № 3. С. 276-283.
5. Юницкий А.Э. Инновационные транспортно-инфраструктурные технологии uST / Альбом. Минск: ЗАО «Струнные технологии», 2021. doi: 10.20291/2311-164X-2021-4-16-20
6. Юницкий А.Э., Артюшевский С.В. Инновационный вектор развития транспортной инфраструктуры Арктического региона России с использованием струнных технологий Юницкого. В кн.: Молодежная наука в XXI веке: традиции, инновации, векторы развития: материалы VII Международной научно-исследовательской конференции. 25–26 апреля 2024 г. Самара-Оренбург: СамГУПС, ОрИПС, 2024. С. 361-366. EDN: BRGHXI
7. Турдагина Ю.П. Винтовые сваи в вечномерзлых грунтах. В кн.: Молодежь и наука: сборник материалов X Юбилейной Всероссийской научно-технической конференции студентов, аспирантов и молодых ученых с международным участием, посвященной 80-летию образования Красноярского края. Красноярск: Сибирский федеральный ун-т, 2014. EDN: TBJTND

8. Zhelezkov V.N. Development of the normative document «Design and arrangement of foundations for screw piles Bulletin of civil engineers» // Bulletin of civil engineers. 2008. Vol. 2. P. 42-46.
9. Юницкий А.Э. Струнные транспортные системы: на Земле и в Космосе. Силакрогос: ПНБ прнт, 2019.
10. Юницкий А.Э., Цырлин М.И. Экологические аспекты струнного транспорта // Инновационный транспорт. 2020. № 2. С. 7-9. EDN: YYQLVX doi: 10.20291/2311-164X-2020-2-7-9
11. СП 25.13330.2012. Основания и фундаменты на вечномерзлых грунтах. М.: Издательство стандартов, 2012.
12. СП 131.13330.2020. Строительная климатология. М., 2020.
13. ГОСТ 27751-88. Надежность строительных конструкций и оснований. Основные положения по расчету. М.: Стандартинформ, 2007.

## REFERENCES

1. Melnikova ES, Grechishcheva SE, eds. *Permafrost and development of oil and gas regions*. Moscow: GEOS; 2002. (In Russ.)
2. Egorova TP, Alekseev KI, Konstantinov NN. Problems of transport provision of the Arctic zone of Yakutia. *Regional'naya ekonomika: teoriya i praktika*. 2011(23):30-304 (In Russ.) EDN: TJHXFV
3. *The Third Assessment Report on Climate Change and its Consequences in the Russian Federation*. St. Pytyrsburg: Naukoemkie tekhnologii; 2022. (In Russ.) EDN: COSHAP
4. Soluyanova TV, Molokov VS, Volkova EV. Peculiarities of construction and operation of motorways in the conditions of the Far North. *Vestnik nauki*. 2023;(3):276-283 (In Russ.)
5. Yunitskii AE. *Innovative transport and infrastructure technologies*. Album. Minsk: Strunnnye tekhnologii; 2021. (In Russ.) doi:10.20291/2311-164X-2021-4-16-20
6. Yunitskii AE, Artyushevskij SV. Innovative vector of development of transport infrastructure of the Russian Arctic region using Yunicky's structural technologies. In: *Youth science in the 21st century: traditions, innovations, development vectors: materials of the VII International scientific research conference. April 25-26, 2024*. Samara-Orenburg: SamGUPS, OrIPS – filial SamGUPS, 2024;361-366. (In Russ.) EDN: BRGHXI
7. Turdagina YuP. Vintovye svai v echnomorzlyh goruntah. In: *Youth and science: collection of materials from the Anniversary All-Russian scientific and technical conference of students, postgraduates and young scientists with international participation, commemorating the 80th anniversary of education in Krasnoyarsk Krai*. Krasnoyarsk: Sibirskij federal'nyj un-t; 2014. EDN: TBJTND
8. Zhelezkov VN. Development of the normative document “Design and arrangement of foundations for screw piles Bulletin of civil engineers”. *Bulletin of civil engineers*. 2008;(2):42-46.

9. Yunitskii AE. *String Transport Systems: On Earth and in Space*. Silakrogs: PNB print; 2019. (In Russ.)
10. Yunitskii AE, Tsyrlin MI. Environmental aspects of string transport. *Innovacionnyj transport*. 2020;(2):7-9. (In Russ.) EDN: YYQLVX doi: 10.20291/2311-164X-2020-2-7-9
11. SP 25.13330.2012. Soil bases and foundations on permafrost soils. Moscow: Standards; 2012.
12. SP 131.13330.2020. Stroitel'naya klimatologiya. Moscow; 2020. (In Russ.)
13. GOST 27751-88. Reliability of constructions and foundations. Principal rules of the calculations. Moscow: Standartinform; 2007. (In Russ.)

**Сведения об авторах:**

**Юницкий Анатолий Эдуардович**, председатель совета директоров и генеральный конструктор;

ORCID: 0000-0003-1574-3539;

E-mail: a@unitsky.com

**Цырлин Михаил Иосифович**, кандидат технических наук, ведущий специалист; eLibrary SPIN: 9548-6321; ORCID: 0000-0002-2983-3255;

E-mail: m.tsirlin@unitsky.com

**Малахов Роман Анатольевич**, начальник бюро;

ORCID: 0009-0006-4876-057X;

E-mail: r.malakhov@unitsky.com

**Петровец Александр Николаевич**, инженер-проектировщик;

ORCID: 0009-0006-2901-183X;

E-mail: a.petrovets@unitsky.com

**Information about the authors:**

**Anatoli E. Unitsky**, Chairman of the Board of Directors and General Designer;

ORCID: 0000-0003-1574-3539;

E-mail: a@unitsky.com

**Michael I. Tsirlin**, Cand. Sci. (Engineering), Leading Specialist;

eLibrary SPIN: 9548-6321; ORCID: 0000-0002-2983-3255;

E-mail: m.tsirlin@unitsky.com

**Roman A. Malakhov**, head of the bureau;

ORCID: 0009-0006-4876-057X;

E-mail: r.malakhov@unitsky.com

**Alexander N. Petrovets**, design engineer;

ORCID: 0009-0006-2901-183X;

E-mail: a.petrovets@unitsky.com